

(3 + 1)维幂律3 Zakharov-Kuznetsov方程的行波解

——兼论幂律n

王双特¹, 于恒国², 刘环艺², 戴文周¹

¹乐清市柳市镇第三中学, 浙江 温州

²温州大学数理学院, 浙江 温州

收稿日期: 2023年3月26日; 录用日期: 2023年4月21日; 发布日期: 2023年4月29日

摘要

借助于平面动力系统理论, 定性分析了非线性(3 + 1)维幂律3 Zakharov-Kuznetsov方程的行波解, 同时给出了行波解的分类及近似解计算方法。结合相关文献, 整体上讨论了幂律为n时Zakharov-Kuznetsov方程的行波解, 由此推广了本文及相应文献中的结果。

关键词

Zakharov-Kuznetsov方程, 平衡点, 行波解, 幂律

Travelling Wave Solutions of a (3 + 1) Dimensional Zakharov-Kuznetsov Equation with Power Law 3

—On Power Law n

Shuangte Wang¹, Hengguo Yu², Huanyi Liu², Wenzhou Dai¹

¹Yueqing Liushi No.3 Middle School, Wenzhou Zhejiang

²College of Mathematics and Physics, Wenzhou University, Wenzhou Zhejiang

Received: Mar. 26th, 2023; accepted: Apr. 21st, 2023; published: Apr. 29th, 2023

Abstract

With the aid of the theory of planar dynamical system, it has qualitatively analysis travelling wave solutions of a nonlinear (3 + 1) dimensional Zakharov-Kuznetsov equation with power law 3. The

文章引用: 王双特, 于恒国, 刘环艺, 戴文周. (3 + 1)维幂律 3 Zakharov-Kuznetsov 方程的行波解[J]. 应用数学进展, 2023, 12(4): 2020-2034. DOI: [10.12677/aam.2023.124206](https://doi.org/10.12677/aam.2023.124206)

classification and approximate calculation methods of travelling wave solutions are also derived. Combining corresponding literature, in general, travelling wave solutions the of Zakharov-Kuznetsov equation with power law n are discussed. Therefore, it extends outcomes in this paper and corresponding literature.

Keywords

Zakharov-Kuznetsov Equation, Equilibrium, Travelling Wave Solution, Power Law

Copyright © 2023 by author(s) and Hans Publishers Inc.

This work is licensed under the Creative Commons Attribution International License (CC BY 4.0).

<http://creativecommons.org/licenses/by/4.0/>



Open Access

1. 引言

众所周知, (2 + 1)维Zakharov-Kuznetsov方程(ZK方程)

$$u_t + \alpha uu_x + u_{xxx} + u_{xxy} = 0 \quad (1)$$

是KdV方程在二维空间的推广形式, 它是应用渐进多尺度技术在磁场中发现的一种磁等离子波, 在物理学领域有着广泛的应用[1], 许多学者对其进行了广泛的研究[2]-[16]。一般的, 具有幂律 n 非线性(3 + 1)维Zakharov-Kuznetsov方程[6] [7] [16]为

$$u_t + \alpha u^n u_x + (\Delta u)_x = 0, \quad (2)$$

其中 α 是非零常数, $\Delta = \partial_x^2 + \partial_y^2 + \partial_z^2$ 是Laplace算子, $u = u(t, x, y, z)$ 。受文[6] [7] [10] [11] [12] [16]的启发, 本文重点考虑幂律3 ZK方程的行波解, 整体安排如下。首先, 给出相应常微分系统的平衡点情况, 如个数和类型; 其次, 针对行波解的分类及形式进行了讨论, 同时给出其近似解的计算方法, 基于此, 在形式上给出了ZK方程对称的一种表达式; 最后, 对幂律 n 为正整数时的ZK方程作初步定性分析。

2. 准备工作

对于幂律为3的ZK方程

$$u_t + \alpha u^3 u_x + (\Delta u)_x = 0, \quad (3)$$

作行波变换 $u = u(\xi)$, $\xi = x + y + z - ct$, $c \neq 0$ 为波速, 积分一次后化为二阶常微分方程(ODE)

$$u'' = \frac{1}{3}cu - \frac{1}{12}\alpha u^4 + C_1, \quad (4)$$

其中 C_1 是积分常数, 上标'(撇)指对 ξ 求导, 下同。为简便, 设 $x = u$ 和 $y = u'$, 上述ODE化为常微分系统

$$x' = y, y' = \frac{1}{3}cx - \frac{1}{12}\alpha x^4 + C_1 := f(x). \quad (5)$$

显然首次积分为 $H(x, y) := \frac{1}{3}cx^2 - \frac{1}{30}\alpha x^5 + 2C_1x - y^2 = const.$, 所定义的轨线为 $\Gamma(h) = \{(x, y) |$

$H(x, y) = h\}$ 。注意, 如果设首次积分形式为 $H(x, y) = \sum_{k=0}^m a_k(x)y^k = 0$, $a_k(x)$ 为关于 x 的多项式, 由交换

代数理论的除法定理[17] [18]知, 存在复数域上多项式 $q(x, y) = g(x) + h(x)y$, 使得 $\frac{dH}{d\xi} = q(x, y)H(x, y)$, 再取 $m = 2$, 比较系数有 $a_0g = a_1f$, $a_1g + a_0h = a'_0 + 2a_2f$, $a_2g + a_1h = a'_1$, $a_2h = a'_2$ 。计算得 a_2 为非零常数, $a_1 = g = h = 0$, 而 $a_0 = -2a_2\left(\frac{1}{6}cx^2 - \frac{1}{60}\alpha x^5 + D_1x + D_2\right)$, 又回到上述形式。

当 $C_1 = 0$ 时, 系统(5)的平衡点为 $O = (0,0)$ 和 $E_* = \left(\sqrt[3]{\frac{4c}{\alpha}}, 0\right)$ 。当 $c > 0$ 时, O 为鞍点, 由对称原理[19]知 E_* 为中心; 当 $c < 0$ 时, O 为中心, 而 E_* 为鞍点。而轨线经过点 O 和点 E_* 时临界值分别为 $h_0 = 0$ 和 $h_* = \frac{4^{\frac{2}{3}} c^{\frac{5}{3}}}{5\alpha^{\frac{2}{3}}}$, h_* 与 c 同号。图 1 给出了 $\alpha = \alpha_0$ 时四种轨线图。

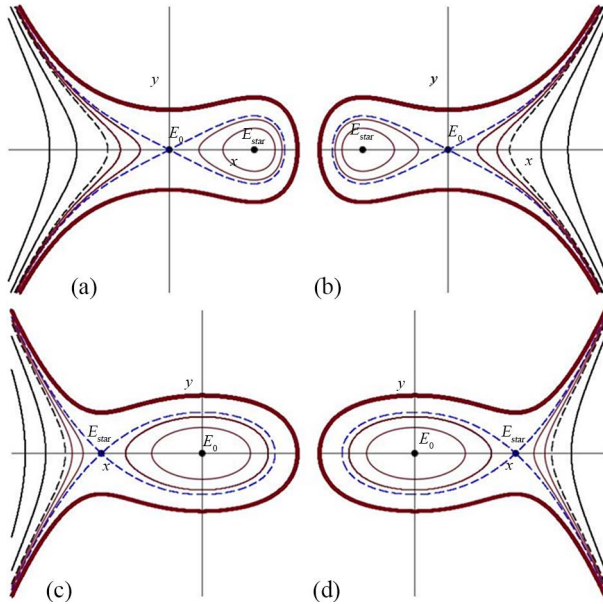


Figure 1. Trajectories with $C_1 = 0$: (a) $c, \alpha > 0$; (b)

$c > 0, \alpha < 0$; (c) $c < 0, \alpha > 0$; (d) $c < 0, \alpha < 0$

图 1. $C_1 = 0$ 时轨线: (a) $c, \alpha > 0$; (b) $c > 0, \alpha < 0$; (c)

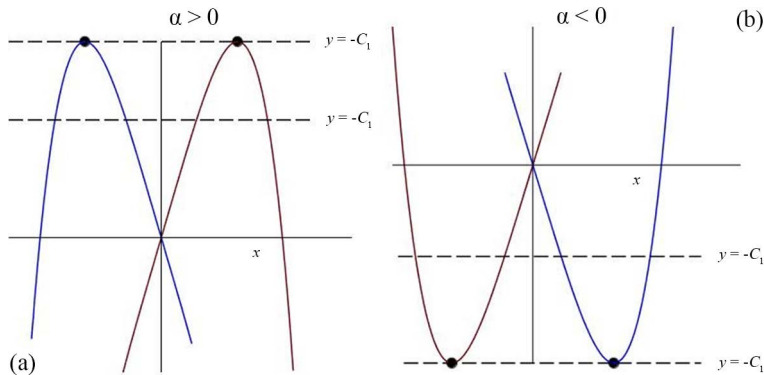
$c < 0, \alpha > 0$; (d) $c, \alpha < 0$

3. $C_1 \neq 0$ 时的行波解分支

3.1. 平衡点的个数

引入四次方程 $f(x) = 0$ 的判别式 $A_x = -\frac{1}{9}\alpha^3 C_1 \neq 0$, $B_x = -\frac{1}{324}\alpha^4 c^4 < 0$, $C_x = \frac{1}{729}\alpha^6 C_1^2 > 0$, $\Delta_x = \frac{1}{104976}\alpha^8 (64\alpha C_1^3 + c^4)$, 分为三种情形进行考虑: 情形1. $\Delta_x = 0$ 或 $\alpha = \alpha_0 := -\frac{c^4}{64C_1^3}$, 此时方程有一对二重实根和一对共轭复根, 即仅有一个平衡点; 情形2. $\Delta_x > 0$ 或 $64\alpha C_1^3 + c^4 > 0$, 此时方程有两个不等实根和一对共轭复根, 即有两个平衡点; 情形3. $\Delta_x < 0$ 或 $64\alpha C_1^3 + c^4 < 0$, 此时方程有两对不等的共轭复根, 即没有平衡点。

如果改写方程 $f(x) = 0$ 为 $\frac{1}{3}cx - \frac{1}{12}\alpha x^4 = -C_1$, 则实根情况转化为两个函数 $f_0(x) = \frac{1}{3}cx - \frac{1}{12}\alpha x^4$ 和直线 $y = -C_1$ 的交点情况。显然, 当 $\alpha > 0$ ($\alpha < 0$) 时函数 $f_0(x)$ 有最大(小)值 $f_0\left(\sqrt[3]{\frac{c}{\alpha}}\right) = \frac{c}{4} \cdot \sqrt[3]{\frac{c}{\alpha}}$ 。以 $\alpha > 0$ 为例, 当 $f_0\left(\sqrt[3]{\frac{c}{\alpha}}\right) < -C_1$, $f_0\left(\sqrt[3]{\frac{c}{\alpha}}\right) = -C_1$ 和 $f_0\left(\sqrt[3]{\frac{c}{\alpha}}\right) > -C_1$ 时, 分别对应 0 个, 1 个和 2 个交点, 即又回到了上述三种情形。类似的, 可以说明 $\alpha < 0$ 时的三种情形。图 2 说明了以上分析。

**Figure 2.** The figures of functions $f_0(x)$ and $y = -C_1$: (a) $\alpha > 0$; (b) $\alpha < 0$ **图 2.** 函数 $f_0(x)$ 与直线 $y = -C_1$ 的图象: (a) $\alpha > 0$; (b) $\alpha < 0$

3.2. 情形 1: $\Delta_x = 0$ 或 $\alpha = \alpha_0$

此时唯一的平衡点 $E_* = \left(-\frac{4C_1}{c}, 0\right)$ 为高阶奇点, 因 Jacobi 矩阵 $J(E) = \begin{pmatrix} 0 & 1 \\ \frac{1}{3}(c - \alpha x^3) & 0 \end{pmatrix}$ 的行列式和迹均为零。取变换 $u = x - x_*$, $v = y$ 和 $u = Au_1$, $v = Av_1$, $A = \frac{1}{a_2}$, $a_2 = \frac{c^2}{8C_1}$, 化为系统

$$u'_1 = v_1, \quad v'_1 = u_1^2 - \frac{4}{3c}u_1^3 + \frac{2}{3c^2}u_1^4. \quad (6)$$

这等价于系统 $x' = y$, $y' = x^2 + o(|x, y|^4)$, 因此 $E_* = \left(-\frac{4C_1}{c}, 0\right)$ 是余维至少为 4 的尖点[20]。轨线经过该奇点的临界值为 $h_* = H(x_*, 0) = -\frac{16C_1^2}{5c}$, h_* 与 c 同号。表 1 说明了参数间关系, +、- 分别表示大于、小于零(下同)。

Table 1. Relationship of parameters with $\alpha = \alpha_0$ ($\Delta_x = 0$)**表 1.** $\alpha = \alpha_0$ ($\Delta_x = 0$) 时参数间关系

c	C_1	α	E_* 位置	h_*
+	+	-	负 x 轴	-
+	-	+	正 x 轴	-
-	+	-	正 x 轴	+
-	-	+	负 x 轴	+

图 3 则给出了 $\alpha = \alpha_0$ ($\Delta_x = 0$) 时的四种轨线图。

3.3. 情形 2: $\Delta_x > 0$

由 Sylvester 结式知轨线经过平衡点时的临界值 h 满足方程

$$R_{x_*}(f, f_h) = \frac{\alpha^3}{1944000} \left[-\frac{125}{16}\alpha^2 h^4 + \frac{75}{2}C_1 c^2 \alpha h^2 + (320C_1^3 c \alpha + c^5)h + \left(\frac{3072}{5}C_1^5 \alpha + 3C_1^2 c^4 \right) \right] = 0, \quad (7)$$

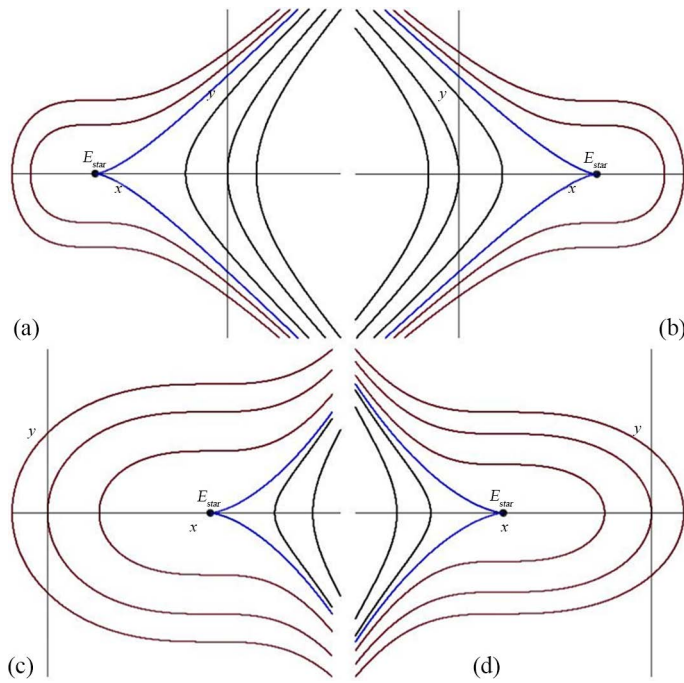


Figure 3. Trajectories with $\alpha = \alpha_0$ ($\Delta_x = 0$): (a) $c, C_1 > 0$; (b) $c > 0, C_1 < 0$; (c) $c < 0, C_1 > 0$; (d) $c, C_1 < 0$

图 3. $\alpha = \alpha_0$ ($\Delta_x = 0$) 时轨线: (a) $c, C_1 > 0$; (b) $c > 0, C_1 < 0$; (c) $c < 0, C_1 > 0$; (d) $c, C_1 < 0$

相应的判别式为 $\Delta_h = \frac{\alpha^{52}}{M_A^4} (256C_1^3\alpha - c^4)^2 (64C_1^3\alpha + c^4)^3 \geq 0$, 其中正数

当 $\alpha = \alpha_1 := \frac{c^4}{256C_1^3}$ 时 $\Delta_h = 0$ ，方程 $R_{x_*}(f, f_h) = 0$ 有三个实根，因判别式 $A_h = \frac{c^{76}}{M_4 C_1^{52}} > 0$ ，

$$B_h = \frac{c^{114}}{M_{\text{R}} C_1^{78}} > 0, \quad C_h = \frac{c^{152}}{M_C C_1^{104}} > 0, \quad \text{其中正数}$$

$$M_4 = 362378034565785000564479090875408362071998718432496278568960000,$$

$$M_B = 6898311441167723834466142987974349925552300010079724541036061453 \\ 456294006942750363090944000000,$$

$$M_C = 52527135974304507465040925293929299028057843351005699225942573159 \\ 6084492213405804540079338670260080650237795941901926400000000.$$

但一个二重实根 $h_3 = -\frac{96C_1^2}{5c}$ 为增根，两个一重实根 $h_1 = \frac{32(3-2\sqrt{2})C_1^2}{5c}$ 和 $h_2 = \frac{32(3+2\sqrt{2})C_1^2}{5c}$ 分别对

应平衡点 $E_\alpha^{(1)} = \left(\frac{4(1-\sqrt{3})C_1}{c}, 0 \right)$ 和 $E_\alpha^{(2)} = \left(\frac{4(1+\sqrt{3})C_1}{c}, 0 \right)$, 相应平衡点处Jacobi矩阵的行列式分别为

$\det J(E_\alpha^{(1)}) = \frac{1}{2}c(1-\sqrt{3})$ 和 $\det J(E_\alpha^{(2)}) = \frac{1}{2}c(1+\sqrt{3})$ 。表2说明了 $\alpha = \alpha_1$ 时参数间关系。

Table 2. Relationship of parameters with $\alpha = \alpha_1$ **表 2.** $\alpha = \alpha_1$ 时参数间关系

c	C_1	α_1	$E_\alpha^{(1)}$ 类型及位置	$E_\alpha^{(2)}$ 类型及位置	h_1	h_2	h_3	h_k 大小关系
+	+	+	鞍点, 负x轴	中心, 正x轴	-	+	-	$h_3 < h_1 < 0 < h_2$
+	-	-	鞍点, 正x轴	中心, 负x轴	-	+	-	$h_3 < h_1 < 0 < h_2$
-	+	+	中心, 正x轴	鞍点, 负x轴	+	-	+	$h_2 < 0 < h_1 < h_3$
-	-	-	中心, 负x轴	鞍点, 正x轴	+	-	+	$h_2 < 0 < h_1 < h_3$

当 $\alpha \neq \alpha_1$ 时 h_3 不存在, 方程 $R_{x_*}(f, f_h) = 0$ 仅有两个实根。引入变换 $x = \sqrt[3]{\frac{c}{\alpha}}z$, 方程 $f(x) = 0$ 化简为

$$f_1(z) = \frac{1}{3}z - \frac{1}{12}z^4 + \sqrt[3]{\frac{C_1^3 \alpha}{c^4}} = 0, \quad (8)$$

显然 $f_1(z) = 0$ 有两个实根 $z_*^{(1)} < 1$ 和 $z_*^{(2)} > 1$, 即有 $x_*^{(k)} = z_*^{(k)}$, $k = 1, 2$ 。由 Jacobi 矩阵的行列式

$\det J(E_*^{(k)}) = \frac{1}{3}\alpha \left[\left(x_*^{(k)} \right)^3 - \frac{c}{\alpha} \right]$ 可知平衡点 $E_*^{(k)}$ 的类型, $k = 1, 2$, 另见表 3。当然, 利用 $f'(x_*^{(k)})$ 的符号也

可说明。再考虑轨线过平衡点 $E_*^{(k)}$ 时的临界值 h_k , 简记 $x_k = x_*^{(k)}$ 和 $z_k = z_*^{(k)}$, $k = 1, 2$, 作差有

$$h_k - h_l = \frac{\frac{4}{3}c^{\frac{4}{3}}}{\alpha^{\frac{1}{3}}} (x_k - x_l) g(z_k, z_l), \text{ 其中对称函数}$$

$$g(\lambda_1, \lambda_2) = \frac{-1}{30} (\lambda_1^3 \lambda_2 + \lambda_1^2 \lambda_2^2 + \lambda_1 \lambda_2^3) + \frac{1}{20} (\lambda_1^4 + \lambda_2^4) = \frac{1}{60} (\lambda_1 - \lambda_2)^2 \left[(\lambda_1 + \lambda_2)^2 + 2 \left(\lambda_1 + \frac{1}{2} \lambda_2 \right)^2 + \frac{3}{2} \lambda_2^2 \right] \\ > 0, \lambda_1 < 1, \lambda_2 > 1,$$

可得 h_1 和 h_2 的大小关系, 见表 3 (同表 2)。图 4 给出了 $\Delta_x > 0$ 时四种轨线图。

Table 3. Relationship of parameters with $\Delta_x > 0$ and $\alpha \neq \alpha_1$ **表 3.** $\Delta_x > 0$ 且 $\alpha \neq \alpha_1$ 时参数关系

α	c	$E_*^{(1)}$ 类型	$E_*^{(2)}$ 类型	$x_*^{(1)}$ 和 $x_*^{(2)}$	h_1 和 h_2
+	+	鞍点	中心	$x_*^{(1)} < \sqrt[3]{\frac{c}{\alpha}} < x_*^{(2)}$	$h_1 < h_2$
+	-	中心	鞍点	$x_*^{(2)} < \sqrt[3]{\frac{c}{\alpha}} < x_*^{(1)}$	$h_2 < h_1$
-	+	鞍点	中心	$x_*^{(2)} < \sqrt[3]{\frac{c}{\alpha}} < x_*^{(1)}$	$h_1 < h_2$
-	-	中心	鞍点	$x_*^{(1)} < \sqrt[3]{\frac{c}{\alpha}} < x_*^{(2)}$	$h_2 < h_1$

3.4. 情形 3: $\Delta_x < 0$

显然 $\alpha C_1 < 0$ 。当 $\alpha > 0$ (或 $\alpha < 0$) 时轨线开口向左(或右), 每支轨线的定义区间为 $(-\infty, x_h)$ (或 $(x_h, +\infty)$), 且唯一的 x_h 随 h 增大而增大(或减小), 而行波解是无界的。图 5 给出了 $\Delta_x < 0$ 时两种轨线图。

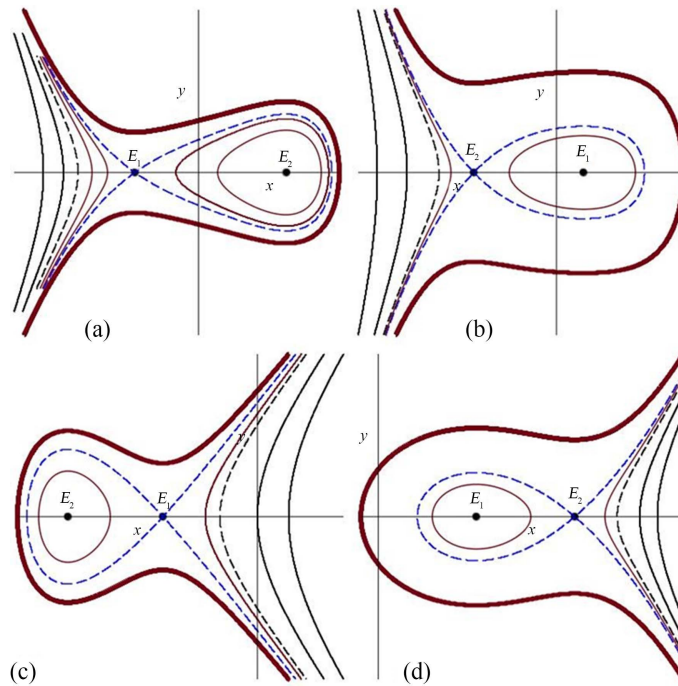


Figure 4. Trajectories with $\Delta_x > 0$: (a) $c, C_1 > 0$; (b) $c > 0, C_1 < 0$; (c) $c < 0, C_1 > 0$; (d) $c, C_1 < 0$

图 4. $\Delta_x > 0$ 时轨线图：(a) $c, C_1 > 0$ ；(b) $c > 0, C_1 < 0$ ；(c) $c < 0, C_1 > 0$ ；(d) $c, C_1 < 0$

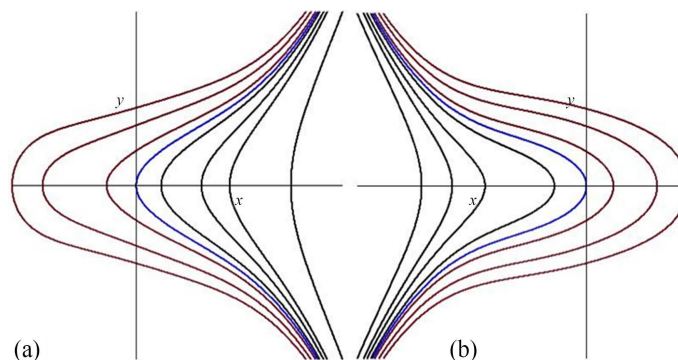


Figure 5. Trajectories with $\Delta_x < 0$: (a) $\alpha < 0$; (b) $\alpha > 0$

图 5. $\Delta_x < 0$ 时轨线：(a) $\alpha < 0$ ；(b) $\alpha > 0$

4. 行波解和对称

4.1. 行波解的分类及形式

为方便讨论行波解的形式，取变换 $x = \frac{w}{\lambda}$, $\lambda = -\sqrt[3]{\frac{\alpha}{30}}$, 由 $H(x, y) = h$ 可得标准形式

$$\pm(\xi - \xi_0) = \int^w \frac{dz}{\sqrt{F(z)}}, \quad F(w) = w^5 + \frac{1}{3}w^2 + 2C_1\lambda w - \lambda^2 h, \quad (9)$$

其中 ξ_0 是积分常数。根据五阶多项式完全判别系统法[21]，引入判别式

$$D_2 = 0, \quad D_3 = -5c^2, \quad D_4 = -\frac{1}{3}c^4 - \frac{20}{3}cC_1\alpha h - \frac{128}{3}C_1^3\alpha, \\ D_5 = -\frac{1}{5400}(49152C_1^2\alpha + 25600C_1^3\alpha ch + 240C_1^2c^4 + 3000C_1\alpha c^2h^2 - 625\alpha^2h^4 + 80c^5h) \cdot \sqrt[3]{30\alpha^2}, \\ E_2 = \frac{5}{6}c^2(16C_1^2 + 5ch) \cdot \sqrt[3]{30\alpha^2}, \quad F_2 = \frac{1}{3}c^2,$$

可对行波解作分类并形式上给出解。

情形 1: $D_5 = D_4 = 0, \quad D_3 < 0, \quad E_2 \neq 0$ 。

这种情形存在, 例如取 $h = -\frac{96C_1^2}{5c}, \quad \alpha = \frac{c^4}{256C_1^3}$ 。此时 $F(w) = (w-a)(w^2 + rw + s)^2$, 其中

$$a = -\frac{2}{15}\sqrt[3]{225c}, \quad r = -\frac{1}{15}\sqrt[3]{225c}, \quad s = \frac{1}{150}(225c)^{\frac{2}{3}}。当 w > a 时行波解的形式为$$

$$\pm(\xi - \xi_0) = -\frac{2}{\rho\sqrt{4s-r^2}} \left(\cos\varphi \cdot \arctan \frac{2\rho \sin\varphi \sqrt{w-a}}{w-a-\rho^2} + \frac{\sin\varphi}{2} \cdot \ln \frac{w-a-\rho^2 - 2\rho \cos\varphi \sqrt{w-a}}{w-a-\rho^2 + 2\rho \cos\varphi \sqrt{w-a}} \right), \quad (10)$$

$$\text{其中 } \rho = (a^2 + ra + s)^{\frac{1}{4}}, \quad \varphi = \frac{1}{2} \arctan \frac{\sqrt{4s-r^2}}{-2a-r}。$$

情形 2: $D_5 = D_4 = E_2 = 0, \quad D_3 < 0$ 。

此即为 $\Delta_x = 0$ 或 $\alpha = \alpha_0$ 的情形, 且 $F(w) = (w-a)^3[(w-l_1)^2 + s_1^2]$, 其中 $a = -\sqrt[3]{\frac{c}{30}}, \quad l_1 = \frac{1}{20}\sqrt[3]{30^2c}$,

$$s_1 = \pm \frac{\sqrt{2}}{4}\sqrt[3]{\sqrt{30}c}。当 w > a 时, 行波解的形式为$$

$$\begin{aligned} \pm(\xi - \xi_0) = & -\frac{\tan\theta + \cot\theta}{2(s_1 \tan\theta - l_1 - a)\sqrt{\frac{s_1}{\sin^3 2\theta}}} F(\varphi, k) - \frac{s_1(\tan\theta + \cot\theta)}{s_1 \cot\theta + l_1 + a} \\ & \times \left[\frac{\tan\theta + l_1 + a}{(s_1 \cot\theta + l_1 - a)\sin\varphi} \sqrt{1 - k^2 \sin^2 \varphi} + F(\varphi, k) - E(\varphi, k) \right], \end{aligned} \quad (11)$$

$$\text{其中 } \tan 2\theta = \frac{s_1}{a - l_1}, \quad k = \sin\theta, \quad 0 < \theta < \frac{\pi}{2}, \quad \text{辅助函数 } F(\varphi, k) = \int_0^\varphi \frac{d\psi}{\sqrt{1 - k^2 \sin^2 \psi}},$$

$$E(\varphi, k) = \int_0^\varphi \sqrt{1 - k^2 \sin^2 \psi} d\psi。$$

情形 3: $D_5 = 0, \quad D_4 < 0$ 。

这种情形存在, 例如取 $h = 0, \quad \alpha = -\frac{5c^4}{1024C_1^3}$ 。此时 $F(w) = (w-a)(w-\beta)[(w-l_1)^2 + s_1^2], \quad a, \quad \beta, \quad l_1$

及 s_1 是实数。当 $w > \beta$ 时, 如果 $a \neq l_1 - s_1 \tan\theta$ 且 $a \neq l_1 + s_1 \tan\theta$, 则行波解的形式为

$$\begin{aligned} \pm(\xi - \xi_0) = & -\frac{\tan\theta + \cot\theta}{2(s_1 \tan\theta - l_1 - a)\sqrt{\frac{s_1}{\sin^3 2\theta}}} F(\varphi, k) - \frac{s_1(\tan\theta + \cot\theta)}{s_1 \cot\theta + l_1 + a} \\ & \times \left[\frac{\tan\theta + l_1 + a}{(s_1 \cot\theta + l_1 - a)\sin\varphi} \sqrt{1 - k^2 \sin^2 \varphi} + F(\varphi, k) - E(\varphi, k) \right]; \end{aligned} \quad (12a)$$

如果 $a = l_1 - s_1 \tan\theta$, 则行波解的形式为

$$\pm(\xi - \xi_0) = \sqrt{\frac{\sin^3 2\theta}{4s^3}} \left[\frac{1}{k} \arcsin(k \sin \varphi) - F(\varphi, k) \right]; \quad (12b)$$

如果 $a = l_1 + s_1 \tan \theta$, 则行波解的形式为

$$\pm(\xi - \xi_0) = \sqrt{\frac{\sin^3 2\theta}{4s^3}} \left[F(\varphi, k) - \frac{1}{\sqrt{1-k^2}} \ln \frac{\sqrt{1-k^2 \sin^2 \varphi} + \sqrt{1-k^2} \sin \varphi}{\cos \varphi} \right]. \quad (12c)$$

其中 $\tan 2\theta = \frac{s_1}{\beta - l_1}$, $k = \sin \theta$, $0 < \theta < \frac{\pi}{2}$.

情形 4: $D_5 < 0$ 。

这种情形存在, 例如取 $h=0$, $\alpha = \frac{C_1^3}{c^4}$ 。此时 $F(w) = (w-a_1)(w-a_2)(w-a_3)[(w-l_1)^2 + s_1^2]$, 其中 a_1 , a_2 , a_3 , l_1 及 s_1 是实数, 行波解的形式为

$$\pm(\xi - \xi_0) = \int^w \frac{dz}{\sqrt{(z-a_1)(z-a_2)(z-a_3)[(z-l_1)^2 + s_1^2]}}. \quad (13)$$

情形 5: $D_5 > 0$, $D_3 < 0$, $D_2 = 0$ 。

这种情形存在, 例如取 $h=0$, $\alpha = -\frac{c^4}{C_1^3}$ 。此时 $F(w) = (w-a)[(w-l_1)^2 + s_1^2][(w-l_2)^2 + s_2^2]$, a , l_1 , s_1 , l_2 及 s_2 是实数, 行波解的形式为

$$\pm(\xi - \xi_0) = \int^w \frac{dz}{\sqrt{(z-a)[(z-l_1)^2 + s_1^2][(z-l_2)^2 + s_2^2]}}. \quad (14)$$

注意, $D_5 = 0$ 且 $D_4 > 0$ 的情形不存在, 因要求 $h \neq 0$, 否则 $h=0$ 时退化为情形3。当 $C_1=0$ 时, 仅有情形3、情形4和情形5成立, 因 $D_4 = -\frac{1}{3}c^4 < 0$ 。总之, 行波解的形式由上述五类情形所规定。

4.2. 对称

引入变换 $u \rightarrow u + \varepsilon\sigma$, ε 充分小, 原方程的对称 σ 应满足方程

$$\frac{\partial}{\partial \varepsilon} \hat{K}(u + \varepsilon\sigma) \Big|_{\varepsilon=0} = \sigma_t + \alpha(u^3\sigma + \Delta\sigma)_x = 0, \quad (15)$$

其中算子 \hat{K} 定义为 $\hat{K}(u) = u_t + \alpha u^3 u_x + (\Delta u)_x$ 。同上, 考虑行波解 $\sigma = \sigma(\xi)$, 并引入 mapping and deformation 关系[22] $\sigma = \Sigma(u)$, 方程(15)可化为三阶ODE

$$F(u) \frac{d^3 \Sigma(u)}{du^3} + 3f(u) \frac{d^2 \Sigma(u)}{du^2} + \alpha u^2 \Sigma(u) = 0, \quad (16)$$

其中辅助函数 $F(u) = H(u, 0) - h = \frac{1}{3}cu - \frac{\alpha}{30}u^5 + 2C_1u - h$ 。上述常微分方程的通解形式为

$$\sigma(u) = \sqrt{F(u)} \left\{ R_1 + \int^u \frac{R_2 z + R_3}{F^{\frac{3}{2}}(z)} dz \right\}, \quad (17)$$

其中 R_1 、 R_2 和 R_3 是积分常数, 而 u 是原方程(4)的行波解。因此有了以上行波解的分类工作, 理论上是可以得到相应的对称 σ 。

4.3. 近似解

Runge-Kutta法可以给出解的数值结果，但无法给出解的表达式；尽管同伦微扰法(HPM) [23]和Adomian分解法(ADM) [24] [25] [26] [27]可以给出近似解的幂级数表达式，对于结点情形尚可以采用，但收敛速度较慢，特别是在周期解情形，而一个物理系统中又常常考虑有界的行波解。给定初值 $x(\xi) = x_0$, $y(\xi) = y_0$ ，对于系统(5)，按文[28]，由HPM和ADM给出的前五阶近似解为

$$\begin{aligned} x(\xi) \approx & x_0 + y_0 \xi + \frac{1}{24} (-\alpha x_0^4 + 4cx_0 + 12C_1) \xi^2 + \frac{1}{18} y_0 (-\alpha x_0^3 + c) \xi^3 \\ & + \frac{1}{4320} (5\alpha^2 x_0^7 - 25\alpha cx_0^7 - 60C_1 \alpha x_0^3 - 180\alpha cx_0^2 y_0^2 + 20c^2 x_0 + 60C_1 c) \xi^4 \\ & + \frac{1}{1080} \left(\frac{13}{4} \alpha^2 x_0^2 - 11\alpha cx_0^3 - 27C_1 \alpha x_0^2 - 18\alpha x_0 y_0^2 + c^2 \right) \xi^5, \end{aligned} \quad (18a)$$

$$\begin{aligned} y(\xi) \approx & y_0 + \frac{1}{12} (-\alpha x_0^4 + 4cx_0 + 12C_1) \xi + \frac{1}{6} (-\alpha x_0^3 + c) y_0 \xi^2 \\ & + \frac{1}{216} (\alpha^2 x_0^7 - 5\alpha cx_0^4 - 12C_1 \alpha x_0^3 - 36\alpha x_0^2 y_0^2 + 4c^2 x_0 + 12C_1 c) \xi^3 \\ & + \frac{1}{216} \left(\frac{13}{4} \alpha^2 x_0^6 - 11\alpha cx_0^3 - 27C_1 \alpha x_0^2 - 18\alpha x_0 y_0^2 + c^2 \right) y_0 \xi^4 \\ & + \frac{1}{51840} \left[-13\alpha^3 x_0^{10} + 96\alpha^2 cx_0^7 + 264\alpha^2 cx_0^6 + 1152\alpha^2 x_0^5 y_0^2 \right. \\ & \left. + -180\alpha c^2 x_0^4 - 960\alpha c C_1 x_0^3 - 2448\alpha \left(c y_0^2 + \frac{9}{17} C_1^2 \right) x_0^2 \right] \\ & + \left(-5184C_1 \alpha y_0^2 + 16c^3 \right) x_0 - 864\alpha y_0^4 + 48C_1 c^2 \xi^5. \end{aligned} \quad (18b)$$

当然，也可用幂级数展开法得到上述结果。以 $\Delta_x > 0$, $c = \alpha = C_1 = 1$, $x_0 = y_0 = 0.1$ 为例，图6将这两种方法所得近似解与Runge-Kutta 45法进行比较，结果表明当 ξ 比较小时，近似可以接受。

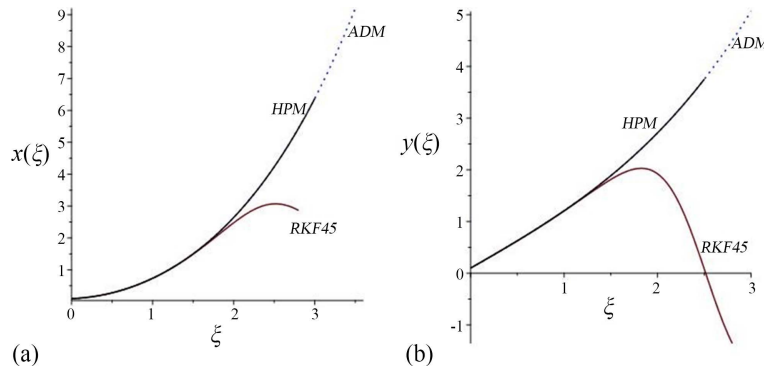


Figure 6. Approximate solutions via HPM (black solid line), ADM (black dot line) and Runge-Kutta 45 method (red solid line): (a) $x(\xi)$; (b) $y(\xi)$

图6. 同伦微扰法(黑色实线)、Adomian分解法(黑色点线)与Runge-Kutta 45法(红色实线)所得近似解：(a) $x(\xi)$ ；(b) $y(\xi)$

鉴于行波解的表达式如此复杂，以及ADM和HPM的局限性，参照文[29] [30]，这里给出相应多模态近似解的计算方法。仍以上述 $c = \alpha = C_1 = 1$ 为例，取多模态近似解 $x(t) = a_0 + a_1 \cos(2wt) + a_2 \cos(4wt)$,

其中 w 为频率， $f = \frac{1}{w}$ 。与文[16] [29] [30]不同，在一个周期 $T = \frac{2\pi}{w}$ 上对Hamilton函数 $H(x, y)$ 积分有

$\bar{H} = \int_0^T H(x, y) dt = 0$, 即可得耦合代数方程组

$$\frac{\partial}{\partial a_0} \bar{H} : 8a_0^2 + 24a_0^2 a_1^2 + 24a_0^2 a_2^2 + 24a_0 a_1^2 a_2 + 3a_1^4 + 12a_1^2 a_2^2 + 3a_2^4 - 32a_0 - 96 = 0, \quad (19a)$$

$$\frac{\partial}{\partial a_1} \bar{H} : -12 + \left[\frac{3}{8} a_2^2 + \frac{3}{2} a_0 a_2^2 + \left(\frac{3}{2} a_0^2 + \frac{1}{2} a_1^2 \right) a_2 + a_0^3 + \frac{3}{4} a_0 a_1^2 - 1 \right] f^2 = 0, \quad (19b)$$

$$\frac{\partial}{\partial a_2} \bar{H} : \left[\frac{3}{4} a_0 a_2^2 + \frac{9}{16} a_1^2 a_2^2 + \left(a_0^3 + \frac{3}{2} a_0 a_1^2 - 1 \right) a_2 + \frac{3}{4} a_0^2 a_1^2 + \frac{1}{8} a_1^4 \right] f^2 - 48a_2 = 0. \quad (19c)$$

结合初始条件 $x(0)=1$ 有解 $f \approx 1.358874058$, $a_0 \approx 1.795811040$, $a_1 \approx -0.9048387263$ 及 $a_2 \approx 0.1090276862$ 。图7(a)刻画了近似解(黑色实线)与实际解(红色点线)的近似程度, 在前几个周期内两者非常吻合; 图7(b)刻画了所得近似轨迹(黑线)与实际周期轨(红线)之间的近似程度, 近似程度很好。总之, 这是一种有效的近似求解方法。类似的, 理论上可以作出其它情形下的近似周期解。

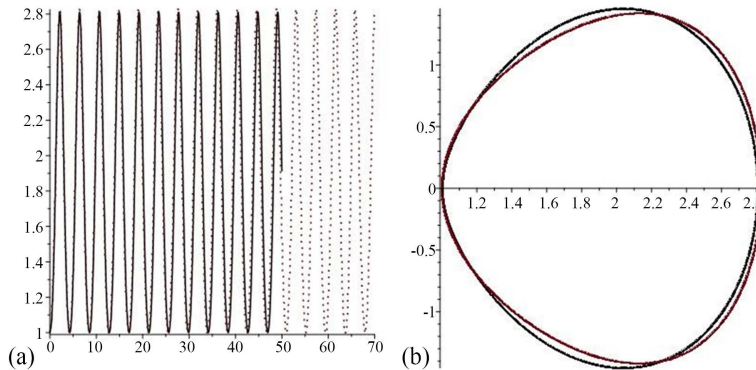


Figure 7. (a) Multimode approximate solution (black solid line); (b) periodic trajectory via multimode approximate solution (black line)

图 7. (a) 多模态近似解(黑色实线); (b) 由多模态近似解所得周期轨(黑线)

5. 幂律 n ZK 方程的行波解

结合前几节的结果, 类似于 $C_1 = 0$ 时数形结合法对平衡点个数的讨论, 本节研究幂律 n ZK 方程(2)及行波解对应的系统

$$x' = y, \quad y' = \frac{1}{3}cx - \frac{\alpha}{3(n+1)}x^{n+1} + C_1 := f(x). \quad (20)$$

首先考虑 n 为奇数情形。当 $\Delta_n := \alpha^{n+1} \left\{ \alpha C_1^n + \left[\frac{n}{3(n+1)} \right]^n c^{n+1} \right\} > 0$ 时, 有 2 个平衡点 $E_*^{(k)} = (x_*^{(k)}, 0)$,

$x_*^{(1)} < x_n$, $x_*^{(2)} > x_n$ 。结合 $f'(x_*^{(k)})$ 的符号知: 若 $\alpha > 0$, 则 $E_*^{(1)}$ 是鞍点, $E_*^{(2)}$ 是中心; 若 $\alpha < 0$, 则 $E_*^{(1)}$ 是中心, $E_*^{(2)}$ 是鞍点。当 $\Delta_n = 0$ 时, 只有 1 个高阶奇点 $E_* = \left(\sqrt[n]{\frac{c}{\alpha}}, 0 \right)$, 因 $\det J(E_*) = 0$, 同样是余维至少为 4 的尖点。当 $\Delta_n < 0$ 时, 没有平衡点。这样, 平衡点可有 0 个、1 个或 2 个。

再考虑 n 为偶数情形。同上, 如果 $\alpha c < 0$, 则仅有一个平衡点, 因 $f'_0(x)$ 的单调性。如果 $\alpha c > 0$, 则:

当 $\Delta_n = \alpha^{n+1} \left\{ \alpha C_1^n - \left[\frac{n}{3(n+1)} \right]^n c^{n+1} \right\} < 0$ 时, 平衡点有 3 个; 当 $\Delta_n = 0$ 时, 平衡点有 2 个; 当 $\Delta_n > 0$ 时, 平

衡点仅有1个。注意, $\alpha c < 0$ 的情形包含在 $\Delta_n > 0$ 的情形中。显然, 可结合 $f'(x_*^{(k)})$ 的符号得到平衡点的类型(鞍点、中心或尖点), 总结如下, 与文[16]一致。

当 $\Delta_n > 0$ 时, 若 $\alpha > 0$, 则唯一的平衡点 E_* 是中心; 反之, $\alpha < 0$ 时 E_* 是鞍点。

当 $\Delta_n < 0$ 时, 设三个平衡点为 $E_*^{(k)}$, $k=1,2,3$, $x_*^{(1)} < x_*^{(2)} < x_*^{(3)}$ 。若 $\alpha > 0$ (α 、 c 同号), 则 $E_*^{(1)}$ 、 $E_*^{(3)}$ 是中心, 而 $E_*^{(2)}$ 是鞍点; 若 $\alpha < 0$, 则 $E_*^{(1)}$ 、 $E_*^{(3)}$ 是鞍点, 而 $E_*^{(2)}$ 是中心。

当 $\Delta_n = 0$ 时, 设双曲平衡点为 E_*^H , 退化平衡点为 $E_*^D = (x_n^{(k)}, 0)$, $k=1$ 或 2 , $x_n^{(1)} = -\sqrt[n]{\frac{c}{\alpha}}$, $x_n^{(2)} = \sqrt[n]{\frac{c}{\alpha}}$,

同上 E_*^D 是余维至少为4的尖点; 而 $\alpha > 0$ (α 、 c 同号)时 E_*^H 是中心, 反之, $\alpha < 0$ 时 E_*^H 是鞍点。

总之, 平衡点可有1个、2个或3个。图8描述了 $n=2$ 时利用数形结合法对平衡点个数的分析。

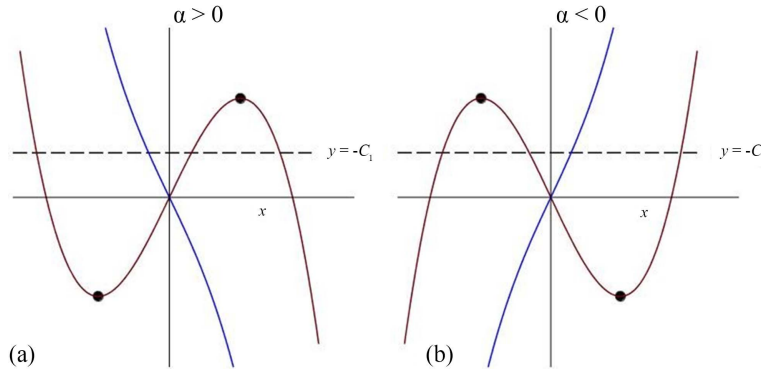


Figure 8. Analysis of number of equilibria with $n=2$: (a) $\alpha > 0$; (b) $\alpha < 0$

图8. $n=2$ 时平衡点个数分析: (a) $\alpha > 0$; (b) $\alpha < 0$

此外, 可以得到首次积分 $H(x,y)=\frac{1}{3}cx^2-\frac{2\alpha}{3(n+1)(n+2)}x^{n+2}+2C_1x-y^2=const.$, 当然, 理论上也可

使用除法定理获得, 例如 $n=4$ 时取 $m=2$, $H=\sum_{k=0}^m a_k(x)y^k$ 有 $H=\frac{1}{45}a_2(\alpha x^6-15cx^2-90C_1x+45y^2)+A_0$,

其中 a_2 和 A_0 均为待定常数。这样, 轨线经过平衡点 $E(x_*, 0)$ 时临界值 h 由方程组 $f(x_*)=0$,

$f_h(x_*)=H(x_*, 0)-h=0$ 决定, 即临界值满足 $(n+1)$ 次代数方程

$$R_{x_*}(f, f_h) = \begin{vmatrix} \frac{-\alpha}{3(n+1)} & 0 & \cdots & \frac{c}{3} & C_1 & \cdots & 0 \\ 0 & \frac{-\alpha}{3(n+1)} & \cdots & \ddots & \ddots & & \vdots \\ \vdots & \vdots & \ddots & & & & \\ 0 & 0 & \cdots & \cdots & \cdots & \frac{c}{3} & C_1 \\ \frac{-2\alpha}{3(n+1)(n+2)} & 0 & \cdots & 2C_1 & -h & \cdots & 0 \\ 0 & \frac{-2\alpha}{3(n+1)(n+2)} & \cdots & \ddots & \ddots & & \vdots \\ 0 & 0 & \cdots & \vdots & & -h & 0 \\ 0 & 0 & \cdots & \cdots & \cdots & 2C_1 & -h \end{vmatrix} \quad (21)$$

$$= a_{n+1}h^{n+1} + \cdots + a_1h + a_0 = 0,$$

其中 $a_{n+1} = -\left(\frac{\alpha}{3(n+1)}\right)^{n+2}$, $a_0 = R_{x*}(f, f_h|_{h=0})$, 而行列式是 $2n+3$ 阶的。再结合高阶多项式完全判别系统

法, 理论上可说明 h 的实根情况及相应轨线的拓扑结构。同时, 方程 $R_{x*}(f, f_h) = 0$ 的实根个数不少于方程 $f(x) = 0$ 的实根个数, 这也启发我们思考如下结论:

对于连续函数 $f(x, y)$ 和 $g(x, y)$, 若连续的轨线族 $H(x, y) = h$ 由微分方程 $\frac{dx}{f(x, y)} = \frac{dy}{g(x, y)}$ 给出, h

为实数, 关于参数 h 的方程 $\varphi(h) = 0$ 由方程组 $f(x, y) = g(x, y) = H(x, y) - h = 0$ 所确定, 则方程 $\varphi(h) = 0$ 的实根个数(重根按单重根计算)不少于方程 $f(x, y) = g(x, y) = 0$ 的实根个数? 除去 $\varphi(h) = 0$ 的增根, 两者的“剩余”实根个数是否相等(存在“剩余”实根间的一一映射)?

例如, 对于实数域上的多项式 $f(x) = \sum_{k=0}^n a_k x^k$ 和 $f_h(x) = \sum_{k=0}^n \frac{a_k}{k+1} x^{k+1} - h$, $a_n \neq 0$, n 为正整数, h 为实数, 则需要考虑“结式方程” $R_x(f, f_h) = 0$ 和方程 $f(x) = 0$ 的实根情况。

因此, 在给定参数条件下, 可获得相图分支及光滑孤立波解、周期波解的存在性定理, 详述如下。

定理1: 当 n 为奇数, $\Delta_n > 0$, $\alpha > 0$ (或 $\alpha < 0$) 时, 对应系统(20)连接鞍点 $E_*^{(1)}$ (或 $E_*^{(2)}$) 的同宿轨道 $H(x, y) = h_1$ (或 $H(x, y) = h_2$), 方程(2)有一个光滑孤立波解; 对应系统(20)的周期轨道 $H(x, y) = h$, h 位于 h_1 和 h_2 之间, 方程(2)有一族周期波解。

定理2: 当 n 为偶数, $\Delta_n < 0$, $\alpha < 0$ 时, 对应系统(20)连接鞍点 $E_*^{(1)}$ 和 $E_*^{(3)}$ 的异宿轨道 $H(x, y) = h$, 方程(2)有一个扭(反扭)波解; 对应系统(20)的周期轨道 $H(x, y) = h$, h 位于 h_1 (或 h_3) 和 h_2 之间, 方程(2)有一族周期波解。

定理3: 当 n 为偶数, $\Delta_n < 0$, $\alpha > 0$ 时, 对应系统(20)连接鞍点 $E_*^{(2)}$ 的同宿轨道 $H(x, y) = h_2$, 方程(2)有两个光滑孤立波解; 对应系统(20)环绕平衡点 $E_*^{(1)}$ 、 $E_*^{(2)}$ 和 $E_*^{(3)}$ 的大范围周期轨道 $H(x, y) = h$, $h \neq h_2$, 方程(2)有一族周期波解; 对应系统(20)分别环绕中心 $E_*^{(1)}$ 和 $E_*^{(3)}$ 的两族周期轨道 $H(x, y) = h$, h 分别位于 h_1 和 h_2 及 h_2 和 h_3 之间, 方程(2)有两族周期波解。

定理4: 当 n 为偶数, $\Delta_n > 0$, $\alpha > 0$ 时, 对应系统(20)的周期轨道 $H(x, y) = h$, $h \neq h_*$, 方程(2)有一族周期波解。

最后, 原方程(2)的对称 σ 应满足方程

$$\frac{\partial}{\partial \varepsilon} \hat{K}(u + \varepsilon\sigma) \Big|_{\varepsilon=0} = \sigma_t + \alpha(u^n\sigma + \Delta\sigma)_x = 0, \quad (22)$$

类似的, 引入关系 $\sigma = \Sigma(u)$ 后, 其一般的表达式同(17), 但

$$F(u) = H(u, 0) - h = \frac{1}{3}cu - \frac{2\alpha}{3(n+1)(n+2)}u^{n+2} + 2C_1u - h, \text{ 而 } u \text{ 是原方程(2)的行波解。}$$

6. 总结与讨论

文[16]的工作隐含了特征为0的实数域 \mathbf{R} 上椭圆曲线 $y^2 = ax^3 + bx^2 + cx + d$ 的若干思考。结合文[6] [7] [16], 本文整体上定性分析了幂律 n ($n \geq 2$ 且为正整数)ZK方程行波解及其性质, 对于其它非线性偏微分方程的研究具有一定参考意义, 如(2 + 1)维广义Zakharov-Kuznetsovmodified equal-width (ZK-MEW)方程 [31]

$$u_t + a(u^n)_x + (bu_{xt} + cu_{yy})_x = 0.$$

致 谢

感谢编辑和审稿人的工作，感谢温州大学赵敏老师和戴传军老师，感谢乐清市柳市镇第三中学郑孟老师和赵淑静老师，感谢乐清市城南中学陈谱锦老师。

参 考 文 献

- [1] 李康, 刘希强. (2+1)维扩展 Zakharov-Kuznetsov 方程的对称、约化和精确解[J]. 井冈山大学学报(自然科学版), 2015, 36(3): 29-33.
- [2] Mohammed, K.E. (2015) Deriving the New Traveling Wave Solutions for the Nonlinear Dispersive Equation, KdV-ZK Equation and Complex Coupled KdV System Using Extended Simplest Equation Method. *Communications in Theoretical Physics*, **64**, 379-390. <https://doi.org/10.1088/0253-6102/64/4/379>
- [3] 傅海明, 戴正德. Zakharov-Kuznetsov 方程的新精确解[J]. 周口师范学院学报, 2013, 30(5): 4-7.
- [4] Dong, Z.Z., Chen, Y. and Lang, Y.H. (2010) Symmetry Reduction and Exact Solutions of the (3+1)-Dimensional Zakharov-Kuznetsov Equation. *Chinese Physics B*, **19**, Article ID: 090205. <https://doi.org/10.1088/1674-1056/19/9/090205>
- [5] 崔艳英, 吕大昭, 刘长河. (3+1)维 Zakharov-Kuznetsov 方程的 Wronskian 形式解[J]. 北京建筑工程学院学报, 2012, 28(2): 68-71.
- [6] 韦丽. 具有幂律非线性的(3+1)维 Zakharov-Kuznetsov 方程的行波解[J]. 应用数学进展, 2020, 9(9): 1426-1435.
- [7] Wei, L. and Ren, M.R. (2019) Bounded Traveling Wave Solutions of the (3+1)-Dimensional Zakharov-Kuznetsov Equation with Power Law Nonlinearity. *Scholars Journal of Physics, Mathematics and Statistics*, **7**, 99-103. <https://doi.org/10.36347/sjpmms.2020.v07i07.004>
- [8] Moslem, W.M., Ali, S., Shukla, P.K., et al. (2007) Solitary, Explosive, and Periodic Solutions of the Quantum Zakharov-Kuznetsov Equation and Its Transverse Instability. *Physics of Plasmas*, **14**, Article ID: 082308. <https://doi.org/10.1063/1.2757612>
- [9] Lu, D.C., Seadawy, A.R., Arshad, M., et al. (2017) New Solitary Wave Solutions of (3+1)-Dimensional Nonlinear Extended Zakharov-Kuznetsov and Modified KdV-Zakharov-Kuznetsov Equations and Their Applications. *Results in Physics*, **7**, 899-909. <https://doi.org/10.1016/j.rinp.2017.02.002>
- [10] 黄欣. 首次积分法下高维非线性偏微分方程新的行波解[J]. 四川师范大学学报(自然科学版), 2014, 37(3): 312-315.
- [11] Li, H., Sun, S.R. and Wang, K.M. (2011) Bifurcations of Traveling Wave Solutions for the Generalized Zakharov-Kuznetsov Equation. 2011 IEEE International Conference on Intelligent Computing and Intelligent Systems, Vol. 1, 102-107. <https://doi.org/10.1109/ICMT.2011.6002021>
- [12] Zhang, W.B. and Zhou, J.B. (2012) Traveling Wave Solutions of a Generalized Zakharov-Kuznetsov Equation. *ISRN Mathematical Analysis*, **2012**, Article ID: 107846. <https://doi.org/10.5402/2012/107846>
- [13] 冯庆江, 李岩, 杨利益. 用试探函数法求 Zakharov-Kuznetsov 方程的孤子解[J]. 长春大学学报, 2010, 20(6): 8-9.
- [14] Yan, Z.L. and Liu, X.Q. (2006) Symmetry Reductions and Explicit Solutions for a Generalized Zakharov-Kuznetsov Equation. *Communications in Theoretical Physics*, **45**, 29-32. <https://doi.org/10.1088/0253-6102/45/1/004>
- [15] 洪宝剑. KdV 方程和 Zakharov-Kuznetsov 方程新的椭圆函数解[J]. 南京工程学院学报(自然科学版), 2010, 8(1): 1-7.
- [16] 王双特, 于恒国. (3+1)维修正 KdV-Zakharov-Kuznetsov 方程的行波解[J]. 动力学与控制学报, 2022, 20(2): 36-44.
- [17] Feng, Z.S. (2002) The First Integral Method to Study the Burgers-Korteweg-de Vries Equation. *Physics Letters A*, **35**, 343-349. <https://doi.org/10.1088/0305-4470/35/2/312>
- [18] Feng, Z.S. (2003) The First Integral Method to the Two-Dimensional Burgers-Korteweg-de Vries Equation. *Physics Letters A*, **308**, 173-178. [https://doi.org/10.1016/S0375-9601\(03\)00016-1](https://doi.org/10.1016/S0375-9601(03)00016-1)
- [19] 马知恩, 周义仓. 常微分方程定性与稳定性方法[M]. 北京: 科学出版社, 2001: 115-116.
- [20] Huang, J.C., Gong, Y.J. and Chen, J. (2013) Multiple Bifurcations in a Predator-Prey System of Holling and Leslie Type with Constant-Yield Prey Harvesting. *International Journal of Bifurcation and Chaos*, **23**, Article ID: 1350164. <https://doi.org/10.1142/S0218127413501642>
- [21] Liu, C.S. (2008) Direct Integral Method, Complete Discrimination System for Polynomial and Applications to Classifications of All Single Traveling Wave Solutions to Nonlinear Differential Equations: A Survey.
- [22] Xiao, N.G. and Lou, S.Y. (2012) Bosonization of Supersymmetric KdV Equation. *Physics Letters B*, **707**, 209-215.

- <https://doi.org/10.1016/j.physletb.2011.12.021>
- [23] He, J.H. (1999) Homotopy Perturbation Technique. *Computer Methods in Applied Mechanics and Engineering*, **178**, 257-262. [https://doi.org/10.1016/S0045-7825\(99\)00018-3](https://doi.org/10.1016/S0045-7825(99)00018-3)
- [24] Biazar, J. and Montazeri, R. (2005) A Computational Method for Solution of the Prey and Predator Problem. *Applied Mathematics and Computation*, **163**, 841-847. <https://doi.org/10.1016/j.amc.2004.05.001>
- [25] Wazwaz, A.-M. (2005) Adomian Decomposition Method for a Reliable Treatment of the Bratu-Type Equations. *Applied Mathematics and Computation*, **166**, 652-663. <https://doi.org/10.1016/j.amc.2004.06.059>
- [26] Biazar, J., Babolian, E., Nouri, A. and Islam, R. (2003) An Alternate Algorithm for Computing Adomian Decomposition Method in Special Cases. *Applied Mathematics and Computation*, **138**, 523-529. [https://doi.org/10.1016/S0096-3003\(02\)00174-1](https://doi.org/10.1016/S0096-3003(02)00174-1)
- [27] Biazar, J., Tango, M., Babolian, E. and Islam, R. (2003) Solution of the Kinetic Modeling of Lactic Acid Fermentation Using Adomian Decomposition Method. *Applied Mathematics and Computation*, **139**, 249-258. [https://doi.org/10.1016/S0096-3003\(02\)00173-X](https://doi.org/10.1016/S0096-3003(02)00173-X)
- [28] 王双特, 于恒国. 利用同伦微扰法和 Adomian 分解法求解捕食生态模型[J]. 高师理科学刊, 2021, 41(7): 14-19.
- [29] 楼智美, 王元斌, 俞立先. 一类强非线性二阶微分方程的多模态近似解析解研究[J]. 动力学与控制学报, 2019, 17(5): 463-466.
- [30] Durmaz, S., Altay, D.S. and Kaya, M.O. (2010) High Order Hamiltonian Approach to Nonlinear Oscillators. *International Journal of Nonlinear Sciences and Numerical Simulation*, **11**, 565-570. <https://doi.org/10.1515/IJNSNS.2010.11.8.565>
- [31] 肖军均, 冯大河, 孟霞. 广义 ZK-MEW 方程的行波解分支[J]. 桂林电子科技大学学报, 2016, 36(1): 66-70.